



Math-Net.Ru

Общероссийский математический портал

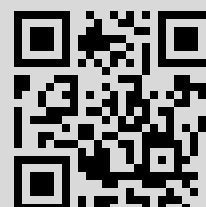
А. И. Задорин, Н. А. Задорин, Аналог формулы Ньютона–Котеса с четырьмя узлами для функции с погранслошной составляющей, *Сиб. журн. вычисл. матем.*, 2013, том 16, номер 4, 313–323

Использование Общероссийского математического портала Math-Net.Ru подразумевает, что вы прочитали и согласны с пользовательским соглашением
<http://www.mathnet.ru/rus/agreement>

Параметры загрузки:

IP: 217.79.53.22

20 января 2017 г., 14:18:45



УДК 519.644

Аналог формулы Ньютона–Котеса с четырьмя узлами для функции с погранслойной составляющей*

А.И. Задорин, Н.А. Задорин

Омский филиал Института математики Сибирского отделения Российской академии наук, ул. Певцова, 13, 644099, Омск

E-mails: zadorin@ofim.oscsbras.ru (Задорин А.И.), nik-zadorin@yandex.ru (Задорин Н.А.)

Задорин А.И., Задорин Н.А. Аналог формулы Ньютона–Котеса с четырьмя узлами для функции с погранслойной составляющей // Сиб. журн. вычисл. математики / РАН. Сиб. отд-ние. — Новосибирск, 2013. — Т. 16, № 4. — С. 313–323.

Построение квадратурных формул Ньютона–Котеса основано на приближении подынтегральной функции полиномом Лагранжа. В случае функции с погранслойной составляющей применение таких формул может привести к большим погрешностям. В работе строится аналог формулы Ньютона–Котеса с четырьмя узлами. Построение основано на использовании неполиномиальной интерполяции, точной на погранслойной составляющей. Получены оценки точности квадратурной формулы, не зависящие от градиентов погранслойной составляющей. Проведены численные эксперименты.

Ключевые слова: функция одной переменной, погранслойная составляющая, большие градиенты, определенный интеграл, неполиномиальная интерполяция, квадратурная формула, оценка погрешности.

Zadorin A.I., Zadorin N.A. An analogue of Newton–Cotes formula with four nodes for a function with a boundary-layer component // Siberian J. Num. Math. / Sib. Branch of Russ. Acad. of Sci. — Novosibirsk, 2013. — Vol. 16, № 4. — P. 313–323.

The construction of the Newton–Cotes formulas is based on approximating an integrand by the Lagrange polynomial. The error of such quadrature formulas can be serious for a function with a boundary-layer component. In this paper, an analogue to the Newton–Cotes rule with four nodes is constructed. The construction is based on using non-polynomial interpolation that is accurate for a boundary layer component. Estimates of the accuracy of the quadrature rule, uniform on gradients of the boundary layer component, are obtained. Numerical experiments have been performed.

Key words: one-variable function, boundary-layer component, high gradients, definite integral, non-polynomial interpolation, quadrature rule, error estimate.

1. Введение

Построение квадратурных формул Ньютона–Котеса основано на приближении интегрируемой функции многочленом Лагранжа. Погрешность таких составных квадратурных формул, как известно, в случае больших градиентов интегрируемой функции и равномерной сетки, может быть значительной. Вопрос построения квадратурных формул для функций с особенностями исследовался в целом ряде работ, например [1, 2].

В [3–5] исследовался вопрос построения формул сплайн-интерполяции для функций с погранслойной составляющей и предложено строить формулы сплайн-интерполяции,

*Работа выполнена при финансовой поддержке РФФИ (проекты № 10-01-00726, № 11-01-00875).

точные на погранслошной составляющей. В [6] показано, что использование формул Ньютона–Котеса при интегрировании функций с погранслошной составляющей может приводить к понижению точности этих формул до величины порядка $O(h)$. Предложено строить квадратурные формулы на основе формул неполиномиальной интерполяции, полученных в [3–5]. В [6] построены квадратурные формулы с двумя и тремя узлами и показано, что погрешность этих формул не зависит от градиентов погранслошной составляющей. В данной работе аналогичным образом строится квадратурная формула с четырьмя узлами и оценивается ее погрешность.

Итак, будем строить квадратурную формулу для вычисления интеграла

$$I(u) = \int_a^b u(x) dx \quad (1.1)$$

в случае функции $u(x)$, имеющей представление

$$u(x) = p(x) + \gamma\Phi(x), \quad x \in [a, b]. \quad (1.2)$$

Предполагаем, что $u(x) \in C^4[a, b]$, погранслошная составляющая $\Phi(x)$ известна, ограничена и имеет области больших градиентов, регулярная составляющая $p(x)$ ограничена вместе с некоторыми производными, постоянная γ не задана. Представление (1.2) имеет место, например, для решений сингулярно-возмущенных краевых или начальных задач [7–9].

Для примера рассмотрим краевую задачу:

$$\varepsilon u''(x) + a_1(x)u'(x) - a_2(x)u(x) = f(x), \quad u(0) = A, \quad u(1) = B, \quad (1.3)$$

где

$$a_1(x) \geq \alpha > 0, \quad a_2(x) \geq 0, \quad \varepsilon > 0,$$

функции a_1, a_2, f — достаточно гладкие. Согласно [7–9], при малых значениях параметра ε решение задачи (1.3) имеет экспоненциальный пограничный слой у левой границы интервала $x = 0$, и для решения $u(x)$ справедливо представление (1.2) при задании:

$$\Phi(x) = \exp(-a_0\varepsilon^{-1}x), \quad a_0 = a_1(0), \quad \gamma = -\varepsilon u'(0)/a_0. \quad (1.4)$$

При этом постоянная γ в явном виде не задана, $|p'(x)| \leq C_0, |\gamma| \leq C_1$.

Всюду в работе под C и $C_j, j \geq 0$, будем подразумевать положительные постоянные, не зависящие от погранслошной составляющей и ее производных, а также от шагов разностной сетки.

2. Построение и обоснование квадратурной формулы

Остановимся на вопросе построения для интеграла (1.1) квадратурной формулы с четырьмя равноотстоящими узлами в случае функции вида (1.2). Пусть

$$c = a + \tau, \quad d = a + 2\tau, \quad \tau = \frac{b-a}{3}.$$

Выпишем формулу Ньютона–Котеса с четырьмя равноотстоящими узлами

$$S_4(u) = \frac{b-a}{8} [u(a) + 3u(c) + 3u(d) + u(b)]. \quad (2.1)$$

Погрешность формулы (2.1) удовлетворяет соотношению [10]:

$$S_4(u) - I(u) = \frac{3}{80} \left(\frac{b-a}{3} \right)^5 u^{(4)}(s), \quad \exists s \in [a, b]. \quad (2.2)$$

Пусть Ω — равномерная сетка интервала $[a, b]$ с узлами $\{x_n\}$, $0 \leq n \leq N$, и шагом h , $h = (b-a)/N$, N кратно трем. Предполагаем известными значения $u_n = u(x_n)$, $n = 0, 1, \dots, N$. Построим составную квадратурную формулу для вычисления интеграла (1.1), используя формулу (2.1) на каждом интервале длины $3h$:

$$S_4^c(u) = \frac{3h}{8} \sum_{n=1,3}^{N-2} (u_{n-1} + 3u_n + 3u_{n+1} + u_{n+2}). \quad (2.3)$$

Для формулы (2.3) справедлива оценка погрешности, соответствующая (2.2):

$$|R_4^c(u)| = |I(u) - S_4^c(u)| \leq \frac{b-a}{80} \max_{x \in [a,b]} |u^{(4)}(x)| h^4. \quad (2.4)$$

Согласно (2.4), составная формула (2.3) имеет погрешность порядка $O(h^4)$, если производная $u^{(4)}(x)$ равномерно ограничена. Но при наличии погранслошной составляющей эта производная может быть сколь угодно большой, что сказывается на точности квадратурной формулы.

Чтобы убедиться в этом, рассмотрим функцию $u(x) = \exp(-\varepsilon^{-1}x)$, $\varepsilon > 0$. Тогда погрешность формулы (2.1) для сеточного интервала $[0, 3h]$ имеет вид

$$\Delta = \varepsilon(1 - \exp(-3h/\varepsilon)) - \frac{3h}{8} [1 + 3\exp(-h/\varepsilon) + 3\exp(-2h/\varepsilon) + \exp(-3h/\varepsilon)].$$

Следовательно, при $\varepsilon \ll h$ погрешность $\Delta \approx -3h/8$. Таким образом, при $\varepsilon = 1$ формула (2.3) имеет погрешность порядка $O(h^4)$, и эта погрешность увеличивается до величины порядка $O(h)$ с уменьшением параметра ε .

Проведем модификацию формулы (2.1) с учетом того, чтобы она стала точной на составляющей $\Phi(x)$. Для этого для функции $u(x)$ построим формулу интерполяции, учитывая значения в узлах $\{a, c, d, b\}$, и точную на составляющей $\Phi(x)$:

$$u_\Phi(x) = u(a) + \frac{u(c) - u(a)}{\tau}(x-a) - \frac{u(d) - 2u(c) + u(a)}{2\tau}(x-a) + \frac{[u(d) - 2u(c) + u(a)](x-a)^2}{2\tau^2} + G \left[\frac{\Phi(d) - 2\Phi(c) + \Phi(a)}{2\tau}(x-a) - \frac{\Phi(c) - \Phi(a)}{\tau}(x-a) - \frac{[\Phi(d) - 2\Phi(c) + \Phi(a)](x-a)^2}{2\tau^2} + \Phi(x) - \Phi(a) \right], \quad (2.5)$$

где

$$G = \frac{u(b) - 3u(d) + 3u(c) - u(a)}{\Phi(b) - 3\Phi(d) + 3\Phi(c) - \Phi(a)}. \quad (2.6)$$

Исследуем на корректность выражение (2.6). Пусть $f \in C^3[a, b]$. Тогда найдется $s \in (a, b)$, при котором

$$f(b) - 3f(d) + 3f(c) - f(a) = \frac{1}{27}(b-a)^3 f^{(3)}(s). \quad (2.7)$$

Для обоснования (2.7) введем $w(x) = f(x+\tau) - f(x)$ и запишем

$$\begin{aligned} f(b) - 3f(d) + 3f(c) - f(a) &= (f(b) - f(d)) - 2(f(d) - f(c)) + (f(c) - f(a)) \\ &= w(d) - 2w(c) + w(a) = \tau^2 w''(r) = \tau^2 (f''(r + \tau) - f''(r)) = \tau^3 f'''(s). \end{aligned}$$

Мы воспользовались известным соотношением для разностного аналога второй производной и получили (2.7).

Следовательно, соотношение (2.6) корректно, если производная $\Phi'''(x)$ внутри интервала (a, b) не обращается в нуль.

Теперь, используя формулу (2.5), получим квадратурную формулу для интеграла (1.1), точную на погранслойной составляющей $\Phi(x)$:

$$S_{\Phi,4}(u) = \int_a^b u_{\Phi}(x) dx. \quad (2.8)$$

Подставляя (2.5) в (2.8) и интегрируя, получим

$$S_{\Phi,4}(u) = \frac{b-a}{4} [u(a) + 3u(d)] + G \left[\int_a^b \Phi(x) dx - \frac{b-a}{4} [\Phi(a) + 3\Phi(d)] \right], \quad (2.9)$$

где G определено в (2.6). Квадратурная формула (2.9) является точной на $\Phi(x)$.

Построенную формулу (2.9) можно рассматривать как формулу Радо с фиксированным левым узлом

$$I(u) \approx \frac{b-a}{4} [u(a) + 3u(d)] \quad (2.10)$$

с поправкой, чтобы квадратурная формула была точной на составляющей $\Phi(x)$.

Докажем две вспомогательные леммы.

Лемма 1. Пусть $f \in C^3[a, b]$. Тогда для некоторого $s \in (a, b)$:

$$\int_a^b f(x) dx - \frac{b-a}{4} [f(a) + 3f(d)] = \frac{(b-a)^4}{216} f^{(3)}(s). \quad (2.11)$$

Доказательство. Пусть

$$\Delta = \int_a^b f(x) dx - \frac{b-a}{4} [f(a) + 3f(d)].$$

Формула (2.10) точна на многочленах второй степени, поэтому для вычисления погрешности Δ можно воспользоваться формулой (см. [11, с. 26]):

$$\Delta = \int_a^b F_3(t) f^{(3)}(t) dt,$$

где

$$F_3(t) = \frac{1}{2} \left[\frac{(b-t)^3}{3} - (b-a) \left(\frac{1}{4} K_3(a-t) + \frac{3}{4} K_3(d-t) \right) \right],$$

$K_3(s) = s^2$ при $s \geq 0$ и $K_3(s) = 0$ при $s < 0$. Следовательно,

$$\Delta = \frac{1}{2} \int_a^d R_1(t) f^{(3)}(t) dt + \frac{1}{2} \int_d^b R_2(t) f^{(3)}(t) dt, \quad (2.12)$$

где

$$R_1(t) = \frac{(b-t)^3}{3} - \frac{3}{4}(b-a)(d-t)^2, \quad R_2(t) = \frac{(b-t)^3}{3}.$$

Докажем, что $R_1(t) \geq 0$, $a \leq t \leq d$. Найдем критическую точку из условия $R_1'(s) = 0$. Несложно убедиться, что $s = (a+b)/2$. Тогда

$$R_1(a) = 0, \quad R_1(s) = \frac{1}{48}(b-a)^3, \quad R_1(d) = \frac{1}{81}(b-a)^3.$$

Следовательно,

$$0 \leq R_1(t) \leq \frac{1}{48}(b-a)^3, \quad a \leq t \leq d, \quad 0 \leq R_2(t) \leq \frac{1}{81}(b-a)^3, \quad d \leq t \leq b. \quad (2.13)$$

Так как $R_1(t)$, $R_2(t)$ неотрицательны (согласно (2.13)), то к интегралам в (2.12) можно применить теорему Лагранжа о среднем значении, тогда для некоторых s_1 , s_2 имеем

$$\Delta = \frac{1}{2}f^{(3)}(s_1) \int_a^d R_1(t) dt + \frac{1}{2}f^{(3)}(s_2) \int_d^b R_2(t) dt.$$

Интегрируя, получим

$$\Delta = \frac{1}{3}\tau^4 f^{(3)}(s_1) + \frac{1}{24}\tau^4 f^{(3)}(s_2).$$

Коэффициенты в этой формуле положительны, поэтому найдется s , при котором

$$\Delta = \left(\frac{1}{3} + \frac{1}{24}\right)\tau^4 f^{(3)}(s) = \frac{(b-a)^4}{216} f^{(3)}(s). \quad \square$$

Теперь получим представление погрешности аналогичной формулы

$$I(f) \approx \frac{b-a}{4}[3f(c) + f(b)]. \quad (2.14)$$

Лемма 2. Пусть $f \in C^3[a, b]$. Тогда для некоторого $s_1 \in (a, b)$:

$$\Delta = \int_a^b f(x) dx - \frac{b-a}{4}[3f(c) + f(b)] = -\frac{(b-a)^4}{216} f^{(3)}(s_1). \quad (2.15)$$

По аналогии с предыдущей леммой получим

$$\Delta = \frac{1}{2} \int_a^c R_1(t) f^{(3)}(t) dt + \frac{1}{2} \int_c^b R_2(t) f^{(3)}(t) dt,$$

где

$$R_1(t) = \frac{(b-t)^3}{3} - \frac{3}{4}(b-a)(c-t)^2 - \frac{1}{4}(b-a)(b-t)^2 \leq 0, \quad t \in [a, c],$$

$$R_2(t) = \frac{(b-t)^3}{3} - \frac{1}{4}(b-a)(b-t)^2 \leq 0, \quad t \in [c, b].$$

Применяя теорему о среднем и интегрируя, получим утверждение леммы.

Учитывая соотношения (2.11) и (2.15), заключаем, что квадратурные формулы (2.10) и (2.14) приближают интеграл $I(f)$ с разных сторон, если $f^{(3)}(x)$ не меняет знак на (a, b) .

Оценим погрешность построенной формулы (2.9).

Лемма 3. Пусть функция $u(x)$ имеет представление (1.2), $\Phi(x) \in C^4[a, b]$. Предположим, что

$$\Phi^{(3)}(x) > 0, \quad \Phi^{(4)}(x) > 0, \quad a < x < b, \quad (2.16)$$

или

$$\Phi^{(3)}(x) < 0, \quad \Phi^{(4)}(x) < 0, \quad a < x < b. \quad (2.17)$$

Тогда

$$|R_{\Phi,4}(u)| = |S_{\Phi,4}(u) - I(u)| \leq \frac{(b-a)^4}{108} \max_x |p^{(3)}(x)|, \quad a \leq x \leq b. \quad (2.18)$$

Доказательство. Остановимся на случае выполнения условий (2.16) (случай условий (2.17) аналогичен). Учитывая представление (1.2) для функции $u(x)$, для погрешности квадратурной формулы (2.9) получим соотношения:

$$\begin{aligned} R_{\Phi,4}(u) &= S_{\Phi,4}(u) - I(u) = R_{\Phi,4}(p) \\ &= [p(b) - 3p(d) + 3p(c) - p(a)](b-a)M + \left[\frac{b-a}{4}(p(a) + 3p(d)) - \int_a^b p(x) dx \right], \end{aligned} \quad (2.19)$$

где

$$M = \frac{\int_a^b \Phi(x) dx - \frac{b-a}{4}(\Phi(a) + 3\Phi(d))}{(b-a)(\Phi(b) - 3\Phi(d) + 3\Phi(c) - \Phi(a))}. \quad (2.20)$$

Докажем, что

$$0 < M < 1/8. \quad (2.21)$$

Неравенство $M > 0$ следует из (2.7), (2.11), (2.16), (2.20). Учитывая, что $\Phi^{(3)}(x) > 0$, получаем, что неравенство $M < 1/8$ равносильно неравенству $I(\Phi) < S_4(\Phi)$. Это неравенство справедливо в силу (2.2) и условий (2.16).

Итак, неравенство (2.21) имеет место. Тогда из (2.19), с учетом (2.7) и (2.11), получим

$$|R_{\Phi,4}(u)| \leq \frac{1}{27}(b-a)^4 \max_x |p^{(3)}(x)|M + \frac{(b-a)^4}{216} \max_x |p^{(3)}(x)|.$$

Учитывая (2.21), получим утверждение леммы. \square

Условия леммы 3 требуют, чтобы производные $\Phi^{(3)}(x)$ и $\Phi^{(4)}(x)$ имели одинаковый знак. В случае функции $\Phi(x)$ из (1.4), соответствующей экспоненциальному пограничному слою, это условие не выполнено. Получим оценку точности формулы (2.9) без ограничений на $\Phi^{(4)}(x)$.

Лемма 4. Пусть функция $u(x)$ имеет представление (1.2), производная $\Phi^{(3)}(x)$ непрерывна и сохраняет знак на интервале (a, b) . Тогда для формулы (2.9) справедлива оценка погрешности

$$|R_{\Phi,4}(u)| \leq \frac{3}{216}(b-a)^4 \max_x |p^{(3)}(x)|, \quad a \leq x \leq b. \quad (2.22)$$

Доказательство. Пусть для определенности $\Phi^{(3)}(x) > 0$, $x \in (a, b)$. Покажем, что при этом

$$0 < M < 1/4. \quad (2.23)$$

Первая часть этого неравенства обоснована в предыдущей лемме. Учитывая (2.20), (2.7), получаем, что условие $M < 1/4$ равносильно неравенству

$$\int_a^b \Phi(x) dx < \frac{b-a}{4} [3\Phi(c) + \Phi(b)].$$

Это неравенство справедливо в силу соотношения (2.15). Учитывая (2.23), из (2.19) получим утверждение леммы. \square

Для случая, когда производная $p^{(3)}(x)$ не является равномерно ограниченной, оценку погрешности формулы (2.9) можно получить в интегральном виде. Для этого используем выражение для погрешности (2.19). В соответствии с обоснованием (2.7) имеем

$$|f(b) - 3f(d) + 3f(c) - f(a)| = |w(d) - 2w(c) + w(a)| \leq \tau \int_a^d |w''(s)| ds.$$

Следовательно,

$$|f(b) - 3f(d) + 3f(c) - f(a)| \leq \tau \int_a^d \int_s^{s+\tau} |f^{(3)}(r)| dr ds. \tag{2.24}$$

Из (2.12), (2.13) получим

$$\left| \int_a^b f(x) dx - \frac{b-a}{4} [f(a) + 3f(d)] \right| \leq \frac{(b-a)^3}{96} \int_a^b |f^{(3)}(s)| ds. \tag{2.25}$$

Если $\Phi^{(3)}(x)$ на (a, b) сохраняет знак, то в соответствие с (2.19) и оценками (2.23), (2.24), (2.25) получим оценку погрешности формулы (2.9):

$$|R_{\Phi,4}(u)| \leq \frac{(b-a)^2}{12} \int_a^d \int_s^{s+\tau} |p^{(3)}(r)| dr ds + \frac{(b-a)^3}{96} \int_a^b |p^{(3)}(s)| ds. \tag{2.26}$$

Квадратурную формулу (2.9) можно записать в виде

$$S_{\Phi,4}(u) = (b-a) \left[\left(\frac{1}{4} - M \right) u(a) + 3Mu(c) + 3 \left(\frac{1}{4} - M \right) u(d) + Mu(b) \right], \tag{2.27}$$

где M соответствует (2.20). Из (2.27) следует формула (2.1) при $M = 1/8$. Если $\Phi^{(3)}(x)$ на интервале (a, b) сохраняет знак, то в силу (2.23) все коэффициенты формулы (2.27) положительны.

Получим оценку точности квадратурной формулы (2.27) без требования, чтобы оценка была равномерной по производным погранслошной составляющей. Пусть $L_4(x)$ — многочлен Лагранжа, учитывающий значения $u(a)$, $u(c)$, $u(d)$, $u(b)$. Из представления погрешности приближения функции $u(x)$ многочленом Лагранжа [2] следует, что для некоторого s_1 :

$$u(x) - L_4(x) = \frac{1}{24} u^{(4)}(s_1) w_4(x), \quad w_4(x) = (x-a)(x-c)(x-d)(x-b).$$

Аналогично для неполиномиального интерполянта (2.5):

$$u_{\Phi}(x) - L_4(x) = \frac{1}{24} u_{\Phi}^{(4)}(s_2) w_4(x).$$

Следовательно,

$$u(x) - u_{\Phi}(x) = \frac{1}{24} [u^{(4)}(s_1) - u_{\Phi}^{(4)}(s_2)] w_4(x). \tag{2.28}$$

Оценивая $w_4(x)$, из (2.28) получим

$$|u(x) - u_{\Phi}(x)| \leq \frac{1}{1944} \left[\max_s |u^{(4)}(s)| + \max_s |u_{\Phi}^{(4)}(s)| \right] (b-a)^4. \quad (2.29)$$

Учитывая, что интерполянт $u_{\Phi}(x)$ точен на составляющей $\Phi(x)$, на основе (2.29) получаем

$$|I(u) - S_{\Phi,4}(u)| \leq \frac{1}{1944} \left[\max_s |p^{(4)}(s)| + \max_s |p_{\Phi}^{(4)}(s)| \right] (b-a)^5. \quad (2.30)$$

3. Составная квадратурная формула

Используя сетку Ω , введенную после соотношения (2.2), построим составную квадратурную формулу на основе формулы (2.27):

$$S_{\Phi,4}^c(u) = 3h \sum_{n=1,3}^{N-2} \left[\left(\frac{1}{4} - M_n \right) u_{n-1} + 3M_n u_n + 3 \left(\frac{1}{4} - M_n \right) u_{n+1} + M_n u_{n+2} \right], \quad (3.1)$$

где

$$M_n = \frac{\int_{x_{n-1}}^{x_{n+2}} \Phi(x) dx - \frac{3h}{4} (\Phi_{n-1} + 3\Phi_{n+1})}{3h(\Phi_{n+2} - 3\Phi_{n+1} + 3\Phi_n - \Phi_{n-1})}. \quad (3.2)$$

Предположим, что $\Phi^{(3)}(x)$ не меняет знак на интервалах: (x_{n-1}, x_{n+2}) , $n = 1, 4, 7, \dots, N-2$. Учитывая оценку погрешности на каждом интервале длины $3h$ в соответствии с леммой 4, получим

$$|I(u) - S_{\Phi,4}^c(u)| \leq \frac{3}{8} (b-a) \max_x |p^{(3)}(x)| h^3. \quad (3.3)$$

Если использовать оценку (2.30), то получим

$$|I(u) - S_{\Phi,4}^c(u)| \leq \frac{1}{24} (b-a) \left[\max_s |p^{(4)}(s)| + \max_s |p_{\Phi}^{(4)}(s)| \right] h^4. \quad (3.4)$$

Таким образом, в соответствии с (3.3) построенная составная квадратурная формула (3.1) имеет погрешность порядка $O(h^3)$ равномерно по погранслошной составляющей и ее градиентам. Эта формула, согласно (3.4), обладает погрешностью порядка $O(h^4)$, если не учитывать равномерную точность по градиентам погранслошной составляющей.

При построении составной квадратурной формулы вне области пограничного слоя можно применить классическую формулу (2.1), а в пограничном слое — построенную формулу (2.27). Это повысит точность составной квадратурной формулы. Для определенности рассмотрим случай, когда функция $\Phi(x)$ соответствует погранслошному изменению $u(x)$ в окрестности точки $x = a$. Пусть $[a, a + \sigma]$ — область пограничного слоя, где параметр σ выбран так, чтобы для $x \geq a + \sigma$ и некоторой постоянной C_0 выполнялось $|u^{(4)}(x)| \leq C_0$. Пусть

$$m = \min_n \{ n : x_{n-1} \geq a + \sigma, \quad n-1 \text{ кратно трем} \}.$$

Тогда можно записать составную квадратурную формулу

$$\begin{aligned} \tilde{S}_{\Phi,4}^c(u) &= 3h \sum_{n=1,3}^{m-3} \left[\left(\frac{1}{4} - M_n \right) u_{n-1} + 3M_n u_n + 3 \left(\frac{1}{4} - M_n \right) u_{n+1} + M_n u_{n+2} \right] + \\ &\quad \frac{3h}{8} \sum_{n=m,3}^{N-2} (u_{n-1} + 3u_n + 3u_{n+1} + u_{n+2}). \end{aligned} \quad (3.5)$$

Учитывая (2.2) и (2.22), получим

$$|I(u) - \tilde{S}_{\Phi,4}^c(u)| \leq \frac{3}{8}(m-1) \max_x |p^{(3)}(x)|h^4 + \frac{1}{80}(N-m+1)C_0h^5. \quad (3.6)$$

Из (3.6) следует, если функция $u(x)$ имеет большие градиенты и $m \ll N$ (в пограничном слое находится ограниченное количество сеточных интервалов), то погрешность формулы (3.5) будет порядка $O(h^4)$.

Например, в случае экспоненциального пограничного слоя, когда $\Phi(x)$ соответствует (1.4), $\sigma = -4\alpha^{-1}\varepsilon \ln(\varepsilon)$, $0 < \varepsilon < 1$.

4. Численные эксперименты

Остановимся на вычислении интеграла

$$I(u) = \int_0^1 u(x) dx, \quad u(x) = \cos(\pi x/2) + \exp(-\varepsilon^{-1}x), \quad (4.1)$$

при различных значениях параметра $\varepsilon \in (0, 1]$. Подынтегральная функция соответствует представлению (1.2) с $\Phi(x) = \exp(-\varepsilon^{-1}x)$. Число сеточных интервалов N кратно трем.

В табл. 1 представлена погрешность $\Delta = |I(u) - S_4^c(u)|$ составной формулы (2.3) в зависимости от ε и N . С уменьшением ε погрешность формулы (2.3) возрастает с величины порядка $O(h^4)$ до $O(h)$, что соответствует оценке (2.4) и примеру, показывающему понижение точности этой формулы до $O(h)$ в случае малых значений ε . В таблицах $e \pm m$ обозначает $10^{\pm m}$.

Таблица 1. Погрешность составной формулы (2.3), функция (4.1)

ε	N					
	$3 \cdot 2^3$	$3 \cdot 2^4$	$3 \cdot 2^5$	$3 \cdot 2^6$	$3 \cdot 2^7$	$3 \cdot 2^8$
1	1.70e-7	1.06e-8	6.63e-10	4.15e-11	2.59e-12	1.61e-13
10^{-1}	3.63e-5	2.34e-6	1.47e-7	9.22e-9	5.77e-10	3.61e-11
10^{-2}	6.36e-3	1.13e-3	1.17e-4	8.64e-6	5.66e-7	3.58e-8
10^{-3}	1.46e-2	6.81e-3	2.91e-3	9.85e-4	2.10e-4	2.55e-5
10^{-4}	1.55e-2	7.71e-3	3.81e-3	1.85e-3	8.77e-4	3.88e-4
10^{-5}	1.56e-2	7.80e-3	3.89e-3	1.94e-3	9.67e-4	4.78e-4

В табл. 2 приведена погрешность $\Delta = |I(u) - S_{\Phi,4}^c(u)|$ предложенной составной формулы (3.1) в зависимости от ε и N . С уменьшением параметра ε порядок погрешности этой формулы увеличивается с $O(h^4)$ до $O(h^3)$, что соответствует оценкам точности (3.4) и (3.3).

Таблица 2. Погрешность составной формулы (3.1), функция (4.1)

ε	N					
	$3 \cdot 2^3$	$3 \cdot 2^4$	$3 \cdot 2^5$	$3 \cdot 2^6$	$3 \cdot 2^7$	$3 \cdot 2^8$
1	2.39e-7	1.49e-8	9.33e-10	5.81e-11	3.67e-12	2.40e-13
10^{-1}	1.08e-6	6.73e-8	4.20e-9	2.63e-10	1.64e-11	1.63e-12
10^{-2}	9.68e-6	6.10e-7	3.73e-8	2.31e-9	1.44e-10	9.01e-12
10^{-3}	2.11e-5	2.44e-6	2.60e-7	2.24e-8	1.45e-9	9.03e-11
10^{-4}	2.23e-5	2.76e-6	3.40e-7	4.14e-8	4.89e-9	5.41e-10
10^{-5}	2.24e-5	2.80e-6	3.49e-7	4.34e-8	5.34e-9	6.67e-10

В табл. 3 представлена погрешность $\Delta = |I(u) - \tilde{S}_{\Phi,4}^c(u)|$ комбинированной составной формулы (3.5) при различных ε и N . Данные этой таблицы подтверждают, что точность формулы (3.5) повышается в сравнении с (3.1), ее погрешность порядка $O(h^4)$, независимо от значения ε .

Таблица 3. Погрешность комбинированной формулы (3.5), функция (4.1)

ε	N					
	$3 \cdot 2^3$	$3 \cdot 2^4$	$3 \cdot 2^5$	$3 \cdot 2^6$	$3 \cdot 2^7$	$3 \cdot 2^8$
10^{-1}	$6.61e-7$	$5.16e-8$	$3.80e-9$	$2.38e-10$	$1.49e-11$	$9.51e-13$
10^{-2}	$3.53e-7$	$2.49e-8$	$1.09e-8$	$7.93e-10$	$1.08e-10$	$1.00e-11$
10^{-3}	$5.48e-7$	$2.08e-8$	$8.83e-10$	$2.03e-10$	$3.71e-11$	$4.33e-12$
10^{-4}	$5.72e-7$	$2.24e-8$	$9.80e-10$	$4.81e-11$	$2.60e-12$	$1.50e-13$
10^{-5}	$5.75e-7$	$2.25e-8$	$9.89e-10$	$4.87e-11$	$2.63e-12$	$1.52e-13$

Теперь остановимся на примере

$$I(u) = \int_0^1 u(x) dx, \quad u(x) = \cos(\pi x/2) + \exp(-\varepsilon^{-1}(x + x^2/2)). \quad (4.2)$$

Интегрируемая функция (4.2) является решением сингулярно возмущенной задачи

$$\varepsilon u'(x) + a_1(x)u(x) = -\frac{\varepsilon\pi}{2} \sin \frac{\pi x}{2} + (1+x) \cos \frac{\pi x}{2}, \quad u(0) = 2, \quad (4.3)$$

где $a_1(x) = 1 + x$. Известно [8, 12], что решение задачи (4.3) представимо в виде (1.2), где $\Phi(x)$ и γ соответствуют (1.4). В представлении (1.2) для $u(x)$ имеем

$$\Phi(x) = \exp(-\varepsilon^{-1}x), \quad p(x) = \cos(\pi x/2) + \exp(-\varepsilon^{-1}(x + x^2/2)) - \exp(-\varepsilon^{-1}x), \quad \gamma = 1.$$

Функция $\Phi(x)$ легко интегрируется и может быть использована в (3.2) при построении составной квадратурной формулы (3.1).

В соответствии с [12] для некоторой постоянной C , не зависящей от ε , $|p'(x)| \leq C$, в то же время производная $p'''(x)$ не является равномерно ограниченной, $p'''(0) = 3/\varepsilon^2$.

За значение интеграла (4.2) принималось вычисленное значение этого интеграла по формуле (2.3) при достаточно большом количестве узлов, $N_0 = 3 \cdot 10^7$.

В табл. 4 приведена погрешность формулы (2.3) в случае функции (4.2) при различных значениях ε и N .

Таблица 4. Погрешность составной формулы (2.3), функция (4.2)

ε	N					
	$3 \cdot 2^3$	$3 \cdot 2^4$	$3 \cdot 2^5$	$3 \cdot 2^6$	$3 \cdot 2^7$	$3 \cdot 2^8$
1	$5.39e-8$	$3.37e-9$	$2.10e-10$	$1.32e-11$	$8.66e-13$	$9.39e-14$
10^{-1}	$2.63e-5$	$1.65e-6$	$1.04e-7$	$6.47e-9$	$4.05e-10$	$2.53e-11$
10^{-2}	$6.40e-3$	$1.13e-3$	$1.15e-4$	$8.41e-6$	$5.49e-7$	$3.47e-8$
10^{-3}	$1.46e-2$	$6.81e-3$	$2.91e-3$	$9.86e-4$	$2.10e-4$	$2.54e-5$
10^{-4}	$1.55e-2$	$7.71e-3$	$3.81e-3$	$1.85e-3$	$8.77e-4$	$3.88e-4$
10^{-5}	$1.56e-2$	$7.80e-3$	$3.90e-3$	$1.94e-3$	$9.67e-4$	$4.78e-4$

В табл. 5 приведена погрешность формулы (3.1) для функции (4.2) при различных ε и N .

Таблица 5. Погрешность формулы (3.1), функция (4.2)

ε	N					
	$3 \cdot 2^3$	$3 \cdot 2^4$	$3 \cdot 2^5$	$3 \cdot 2^6$	$3 \cdot 2^7$	$3 \cdot 2^8$
1	$1.72e-7$	$1.08e-8$	$6.72e-10$	$4.20e-11$	$2.71e-12$	$2.28e-13$
10^{-1}	$6.06e-6$	$3.97e-7$	$2.51e-8$	$1.58e-9$	$9.85e-11$	$6.14e-12$
10^{-2}	$1.86e-5$	$9.72e-6$	$1.87e-6$	$1.62e-7$	$1.10e-8$	$7.04e-10$
10^{-3}	$2.20e-5$	$3.44e-6$	$1.22e-6$	$3.61e-7$	$1.21e-7$	$3.68e-8$
10^{-4}	$2.23e-5$	$2.77e-6$	$3.50e-7$	$5.14e-8$	$1.49e-8$	$1.05e-8$
10^{-5}	$2.25e-5$	$2.80e-6$	$3.48e-7$	$4.35e-8$	$5.49e-9$	$7.67e-10$

Литература

1. Березин И.С., Жидков Н.П. Методы вычислений. — М.: Наука, 1966.
2. Бахвалов Н.С. Численные методы. — М.: Наука, 1975.
3. Задорин А.И. Метод интерполяции для задачи с пограничным слоем // Сиб. журн. вычисл. математики / РАН. Сиб. отд-ние. — Новосибирск, 2007. — Т. 10, № 3. — С. 267–275.
4. Задорин А.И., Задорин Н.А. Сплайн-интерполяция на равномерной сетке функции с погранслошной составляющей // Журн. вычисл. матем. и мат. физики. — 2010. — Т. 50, № 2. — С. 221–233.
5. Zadorin A.I. Spline interpolation of functions with a boundary layer component // Int. J. of Num. Analysis and Modeling. Series B. — 2011. — Vol. 2, № 2, 3. — P. 562–579.
6. Задорин А.И., Задорин Н.А. Квадратурные формулы для функций с погранслошной составляющей // Журн. вычисл. матем. и мат. физики. — 2011. — Т. 51, № 11. — С. 1952–1962.
7. Шишкин Г.И. Сеточные аппроксимации сингулярно возмущенных эллиптических и параболических уравнений. — Екатеринбург: УрО РАН, 1992.
8. Miller J.J.H., O’Riordan E., and Shishkin G.I. Fitted Numerical Methods for Singular Perturbation Problems. — Singapore: World Scientific, 1996.
9. Kellogg R.B., Tsan A. Analysis of some difference approximations for a singular perturbation problems without turning points // Math. Comput. — 1978. — Vol. 32. — P. 1025–1039.
10. Милн В.Э. Численный анализ. — М.: ИЛ, 1951.
11. Никольский С.М. Квадратурные формулы. — М.: Наука, 1974.
12. Дулан Э., Миллер Д., Шилдерс У. Равномерные численные методы решения задач с пограничным слоем. — М.: Мир, 1983.

Поступила в редакцию 24 ноября 2011 г.,
в окончательном варианте 28 февраля 2012 г.

